

УДК 621.317

## МАТЕМАТИЧНА МОДЕЛЬ ЕКВІВАЛЕНТНОЇ ДІЕЛЕКТРИЧНОЇ ПРОНИКНОСТІ НЕОДНОРІДНОГО СИПКОВОГО СЕРЕДОВИЩА З УЩІЛЬНЕНОЮ СТРУКТУРОЮ КУЛЬОВИХ ВКЛЮЧЕНЬ

© Роман Івах, 2010

Національний університет “Львівська політехніка”, кафедра інформаційно-вимірювальних технологій  
вул. С. Бандери, 28а, 79013, Львів, Україна

*Запропоновано аналітичний спосіб визначення еквівалентної діелектричної проникності неоднорідного  
сіпкого середовища з ущільненою структурою кульових включень.*

*Предложен аналитический способ определения эквивалентной диэлектрической проницаемости  
неоднородной сыпучей среды с плотной структурой шарообразных включений.*

*The analytical method of determination of equivalent inductivity of heterogeneous friable environment is offered with  
the structure of including of bullets.*

Ця робота є продовженням статті [1].

**Вступ.** Вимірювання діелектричної проникності (ДП) здійснюються під час різноманітних технологічних процесів у хімічній, нафтопереробній, харчовій та інших галузях промисловості, де необхідно контролювати безліч неелектричних величин, таких як температура, тиск, вологість тощо. Так, для прикладу, вимірювання діелектричної проникності застосовують під час визначення вологості сіпкого матеріалу (СМ). У такому випадку на результат вимірювання ДП сіпкого матеріалу впливає неоднорідність досліджуваного об'єкта у міжелектродному просторі ємнісного первинного перетворювача (ЄПП), яка може бути спричинена тим, що у міжелектродному просторі, крім власне досліджуваного сіпкого матеріалу, обов'язково є повітря або інше середовище, також можливим є включення іншої природи.

Спроби усунути цю неоднорідність виконують двома способами:

- подрібненням проби сіпкого матеріалу;
- примусовим ущільненням сіпкого матеріалу у ВК.

Перший спосіб має істотний недолік, що обмежує його використання. Подрібнення гранульованих сіпких матеріалів у ЄПП можливо за допомогою, наприклад, млина, однак в процесі розмелу підвищується температура середовища, яке подрібнюється, що може спричинити зміни його властивостей, зокрема, неконтрольовані втрати вологості, тобто зміну діелектричної проникності СМ. Крім цього, подрібнення СМ – це тривалий процес, і для подрібнення необхідне

додаткове устаткування, що ускладнює конструкцію первинного перетворювача.

Примусове ущільнення забезпечує зменшення впливу стану поверхні окремих зерен (наприклад, від її шорсткості, запиленості) і гранулометричного складу СМ на результат вимірювання діелектричної проникності СМ та постійного контактного опору між окремими частками матеріалу та електродами.

Однак ущільнення вологого СМ має також низку недоліків, пов'язаних, зокрема, зі зміною провідності середовища [2]. Для зменшення впливу коливань ступеня ущільнення на результати вимірювання необхідно докладати доволі значні зусилля, які деформують досліджуваний зразок, а в деяких випадках частково його руйнують, тоді замість матеріалу у природному його стані об'єктом вимірювання стає штучно спресований брикет із цього матеріалу з іншою діелектричною проникністю. Деформація або руйнування зразка досліджуваного матеріалу унеможливають повторне вимірювання, що є експлуатаційним недоліком.

Під час пресування зразків із високою вологістю можливе часткове відтискання вологи з її виділенням на електродах, що призводить до зміни еквівалентної діелектричної проникності.

Аналізуючи вищесказане, необхідно зазначити, що однією із основних складових похибки вимірювання діелектричної проникності сіпкого середовища є похибка, зумовлена неоднорідною структурою діелектричної проникності досліджуваного середовища. Тому для підвищення точності вимірювання діелектричної

проникності сипких матеріалів необхідно встановити залежність еквівалентної діелектричної проникності від можливих складових досліджуваного середовища.

**Метою роботи** є розроблення математичної моделі еквівалентної діелектричної проникності неоднорідного сипкого середовища з ущільненою структурою кульових включень, яка, з урахуванням параметрів зовнішньої оболонки та внутрішнього ядра гранули сипкого матеріалу, дає змогу враховувати вплив неінформативних параметрів на результат вимірювання.

**Методика досліджень.** Під час досліджень використовуватимемо припущення та позначення, описані в [1]. Для визначення еквівалентної діелектричної проникності застосуємо метод еквівалентних ємностей складових досліджуваного неоднорідного середовища, який ґрунтується на визначенні еквівалентної ємності кожного середовища, на підставі енергії електричного поля, яка накопичується у кожному з цих середовищ [3]. Причому кожне з тих середовищ спирається на заряди, що відповідають зарядам протилежних сторін куба  $ABCD$  і  $A_1B_1C_1D_1$  (див. рис. 1).

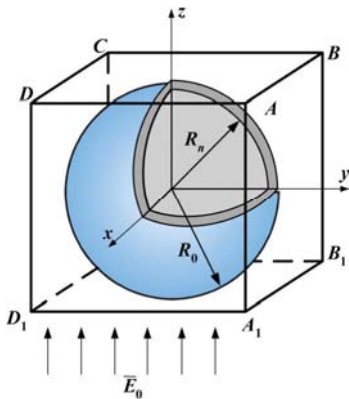


Рис. 1. Елементарна комірка із гранулою у вигляді двошарової кулі

Тоді

$$C_B = \frac{Q^2}{2 \cdot W_B}; \quad C_3 = \frac{Q^2}{2 \cdot W_3}; \quad C_C = \frac{Q^2}{2 \cdot W_C}, \quad (1)$$

де  $C_B, C_3, C_C$  – еквівалентні ємності внутрішнього ядра, зовнішньої оболонки та середовища відповідно;  $W_B, W_3, W_C$  – енергії електричного поля, які запасуються у внутрішньому ядрі, зовнішній оболонці та середовищі відповідно.

Отже, насамперед доцільно визначити енергію електричного поля кожної складової неоднорідного середовища.

Визначення енергії електричного поля кожної складової неоднорідного середовища. Енергія електричного поля, яка запасується в елементарному кубі, дорівнює:

$$W_0 = C_0 \frac{U^2}{2} = \frac{1}{\sqrt{3}} \varepsilon_0 \varepsilon_c R_0 \frac{(\sqrt{3}R_0^3 + \alpha_1)}{(R_0^3 - 0,5236\alpha_1)} U^2. \quad (2)$$

Пояснення щодо позначень, які використовуються у виразах цієї статті, наведені у [1].

Враховуючи вираз (8), поданий у [1], у внутрішньому ядрі діелектричної кулі поле рівномірно спрямоване вздовж осі  $z$  (тут враховано, що  $R \cos \theta = z$ ) і дорівнює:

$$E_B = E_{gz} = -\frac{\partial \varphi_B}{\partial z} = \frac{9\varepsilon_3 \varepsilon_c}{(2\varepsilon_3 + \varepsilon_B)(2\varepsilon_c + \varepsilon_3)} E_0. \quad (3)$$

Тоді енергія, яка запасується у внутрішньому ядрі діелектричної кулі, дорівнює:

$$\begin{aligned} W_B &= \int_{V_B} \frac{1}{2} \varepsilon_B \varepsilon_0 E_B^2 dV = \frac{1}{2} \varepsilon_B \varepsilon_0 E_B^2 \cdot \frac{4}{3} \pi R_n^3 = \\ &= \frac{2}{3} \pi \varepsilon_B \varepsilon_0 \frac{81 \varepsilon_3^2 \varepsilon_c^2 R_n^3}{(2\varepsilon_3 + \varepsilon_B)^2 (2\varepsilon_c + \varepsilon_3)^2} E_0^2 = \\ &= \frac{54 \pi \varepsilon_0 \varepsilon_B \varepsilon_3^2 \varepsilon_c^2 E_0^2}{(2\varepsilon_3 + \varepsilon_B)^2 (2\varepsilon_c + \varepsilon_3)^2} R_n^3. \end{aligned} \quad (4)$$

Визначимо енергію електричного поля, яка запасується в оболонці діелектричної кулі.

$$W_3 = \frac{6\varepsilon_c^2 \varepsilon_3 \varepsilon_0}{(2\varepsilon_c + \varepsilon_3)^2} E_0^2 (R_0^3 - R_n^3) \left[ 1 + \frac{(\varepsilon_3 - \varepsilon_B)^2 R_n^3}{(2\varepsilon_3 + \varepsilon_B)^2 R_0^3} \right]. \quad (5)$$

З метою полегшення аналізу введемо такі відносні величини:

$$\beta = \frac{R_0}{R_n}; \quad \delta = \frac{\varepsilon_3}{\varepsilon_B}; \quad \lambda = \frac{\varepsilon_c}{\varepsilon_B}. \quad (6)$$

Тоді

$$U = 2E_0 R_0 \frac{\beta^3 (2\delta + 1)(2,5236\lambda + 0,4764\delta) + 1,5708\lambda(\delta - 1)}{(2\lambda + \delta)(2\delta + 1)\beta^3}; \quad (7)$$

$$C_0 = \frac{2}{\sqrt{3}} \varepsilon_c \varepsilon_0 R_0 \frac{\beta^3 (2\delta + 1)(2,4641\lambda + 2,7320\delta) - 3\lambda(\delta - 1)}{\beta^3 (2\delta + 1)(2,5236\lambda + 0,4764\delta) + 1,5708\lambda(\delta - 1)}; \quad (8)$$

$$\begin{aligned} W_0 &= \frac{4}{\sqrt{3}} \varepsilon_c \varepsilon_0 R_0^3 E_0^2 \frac{[\beta^3 (2\delta + 1)(2,4641\lambda + 2,7320\delta) - 3\lambda(\delta - 1)]}{(2\lambda + \delta)^2 (2\delta + 1)^2 \beta^6} \times \\ &\times [\beta^3 (2\delta + 1)(2,5236\lambda + 0,4764\delta) + 1,5708\lambda(\delta - 1)] + 1,5708\lambda(\delta - 1); \end{aligned} \quad (9)$$

$$W_B = 54 \pi \varepsilon_B \varepsilon_0 R_0^3 E_0^2 \frac{\delta^2 \lambda^2}{(2\delta + 1)^2 (2\lambda + \delta)^2 \beta^3}; \quad (10)$$

$$W_3 = 6 \pi \varepsilon_3 \varepsilon_0 R_0^3 E_0^2 \frac{\lambda^2 (\beta^3 - 1) [(2\delta + 1)^2 \beta^3 + 2(\delta - 1)]}{(2\lambda + \delta)^2 (2\delta + 1)^2 \beta^6}. \quad (11)$$

Якщо оболонка діелектричної кулі відсутня, то останні вирази (8) – (11) набудуть такого вигляду:

$$U = 2E_0R_0 \frac{2,5236\lambda + 0,4764}{2\lambda + 1}; \quad (12)$$

$$C_0 = \frac{2}{\sqrt{3}} \varepsilon_c \varepsilon_0 R_0 \frac{2,4641\lambda + 2,7320}{2,5236\lambda + 0,4764}; \quad (13)$$

$$W_0 = \frac{4}{\sqrt{3}} \varepsilon_c \varepsilon_0 R_0^3 E_0^2 \frac{(2,4641\lambda + 2,7320)(2,5236\lambda + 0,4764)}{(2\lambda + 1)^2}; \quad (14)$$

$$W_B = 6\pi \varepsilon_3 \varepsilon_0 R_0^3 E_0^2 \frac{\lambda^2}{(2\lambda + 1)^2}. \quad (15)$$

Заряд, на який спирається ядро діелектричної кулі за наявності оболонки, буде дещо меншим від  $Q$ . Але, якщо оболонка є тонкою, то можна прийняти, що ці заряди є однаковими. Оскільки кожне з цих середовищ спирається на один і той самий заряд, то їх можна розглядати як послідовно з'єднані конденсатори.

Тоді

$$C_{\text{екв}} = \frac{1}{\frac{1}{C_g} + \frac{1}{C_3} + \frac{1}{C_c}} = \frac{C_g \cdot C_3 \cdot C_c}{C_g \cdot C_3 + C_g \cdot C_c + C_3 \cdot C_c} = 2 \cdot \varepsilon_{\text{екв}}^* \cdot \varepsilon_0 \cdot R_0 \quad (16)$$

звідси

$$\varepsilon_{\text{екв}}^* = \frac{C_{\text{екв}}}{2 \cdot \varepsilon_0 \cdot R_0}. \quad (17)$$

Якщо ж зовнішня оболонка відсутня, то

$$C_{\text{екв}} = \frac{1}{\frac{1}{C_g} + \frac{1}{C_c}} = \frac{C_g \cdot C_c}{C_g + C_c}. \quad (18)$$

Якщо ж підставити у (16) або (18) відповідні вирази (8) – (13), то еквівалентні діелектричні проникності неоднорідного середовища повністю збігаються з (26) та (27), які наведені в [1], тобто

$$\varepsilon_{\text{екв}}^* = \varepsilon_c \frac{\sqrt{3}R_0^3 + \alpha_1}{\sqrt{3}(R_0^3 - 0,5236\alpha_1)}, \quad (19)$$

$$\text{де } \alpha_1 = \left[ (\varepsilon_3 - \varepsilon_c) \cdot R_0^3 - \frac{3\varepsilon_c \cdot (\varepsilon_3 - \varepsilon_B) \cdot R_n^3}{(2\varepsilon_3 + \varepsilon_B)} \right] \cdot \frac{1}{2\varepsilon_c + \varepsilon_3};$$

$$\alpha_1 = \frac{(\varepsilon_B - \varepsilon_c) \cdot R_0^3}{2\varepsilon_c + \varepsilon_B} \text{ – у разі відсутності зовнішньої}$$

оболонки діелектричної кулі

З урахуванням замінін (6) еквівалентну діелектричну проникність сипкого неоднорідного середовища можна визначити з виразу:

$$\varepsilon_{\text{екв}} = \frac{\varepsilon_c}{\sqrt{3}} \left[ \frac{\beta^3 (2\delta + 1)(2,4641\lambda + 2,7320\delta) - 3\lambda(\delta - 1)}{\beta^3 (2\delta + 1)(2,5236\lambda + 0,4764\delta) + 1,5708\lambda(\delta - 1)} \right], \quad (20)$$

а у разі відсутності зовнішньої оболонки діелектричної кулі:

$$\varepsilon_{\text{екв}} = 3,3109\varepsilon_c \left[ \frac{0,9019\lambda + 1}{5,2972\lambda + 1} \right]. \quad (21)$$

Ущільнена структура сипкого неоднорідного середовища. Отримані вирази описують середовище, у якому кожна зернина має вигляд діелектричної кулі, вписаної в елементарний куб і утворюється впорядкована структура, кожен шар якої однаковий. Але насправді кульові частинки утворюють ущільненішу структуру, як показано на рис. 2.

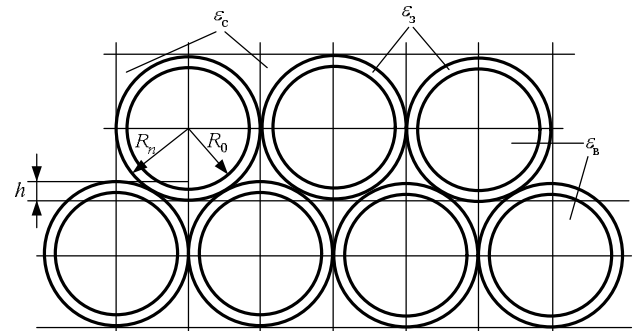


Рис. 2. Ущільнена структура зернин сипкого матеріалу

Тоді у кожній вершині елементарного куба вноситься певна частина кульового сегмента діелектричної кулі, як показано на рис. 2.

При цьому зовнішнє середовище частково заміщається діелектричною кулею.

Висота кульового сегмента, як не важко підрахувати, дорівнює:

$$h = \sqrt{2}R_0 \cdot (\sqrt{2} - 1) = 0,5858R_0. \quad (22)$$

Об'єм четвертини кульового сегмента дорівнює:

$$V_{\text{сег}} = \frac{\pi}{12} h^2 \cdot (3R_0 - h) = 0,2169R_0^3. \quad (23)$$

Причому об'єм діелектрика ядра кулі у цьому сегменті становить:

$$V_{\text{сер}}^{(B)} = \frac{\pi}{12} [0,5858R_0 - R_0 + R_n]^2 \cdot (3R_n - 0,5858R_0 + R_0 - R_n) = (0,0186\beta^3 - 0,3253\beta + 0,5236) \frac{R_0^3}{\beta^3}. \quad (24)$$

Об'єм оболонки кулі в четвертинці сегмента кулі дорівнює:

$$V_{\text{сер}}^{(3)} = V_{\text{сер}} - V_{\text{сер}}^{(B)} = (0,1983\beta^3 + 0,3253\beta - 0,5236) \frac{R_0^3}{\beta^3}. \quad (25)$$

Підрахуємо об'єми кожної складової в елементарному кубі після ущільнення:

а) об'єм середовища після ущільнення:

$$V_{cy} = V_c - 8 \cdot V_{cer} = 8 \cdot R_0^3 - 4,189R_0^3 - 8 \cdot V_{cer} = 2,0758R_0^3. \quad (26)$$

б) об'єм діелектрика оболонки кулі після ущільнення:

$$V_{zy} = V_3 + 8 \cdot V_{cer}^{(3)} = \left(5,7754\beta^3 + 2,6024\beta - 8,3778\right) \frac{R_0^3}{\beta^3}. \quad (27)$$

в) об'єм діелектрика ядра кулі після ущільнення:

$$V_{by} = V_b + 8 \cdot V_{cer}^{(b)} = \left(0,1488\beta^3 - 2,6024\beta - 8,3778\right) \frac{R_0^3}{\beta^3}. \quad (28)$$

Якщо оболонка кулі відсутня, то

$$V_{cy} = 2,0758; \quad V_{zy} = 0; \quad V_{by} = 5,9242R_0^3. \quad (29)$$

Для визначення еквівалентної діелектричної проникності у цьому випадку допустимо, що у разі ущільнення середні об'ємні густини електричної енергії у кожному з середовищ практично не змінюються і тому їх прийемо такими, як і до ущільнення.

Тоді, наприклад, за методом еквівалентних ємностей середовищ.

Визначимо запас електричної енергії у кожному із середовищ.

Тоді

$$\begin{aligned} C_{by} &= \frac{Q^2 \cdot V_b}{2 \cdot V_{by} \cdot W_b} = \frac{Q^2 \cdot V_b}{2 \cdot V_{by} \cdot a_1 W_0}; \\ C_{zy} &= \frac{Q^2 \cdot V_3}{2 \cdot V_{zy} \cdot W_3} = \frac{Q^2 \cdot V_3}{2 \cdot V_{zy} \cdot a_2 W_0}; \\ C_{cy} &= \frac{Q^2 \cdot V_c}{2 \cdot V_{cy} \cdot W_c} = \frac{Q^2 \cdot V_c}{2 \cdot V_{cy} \cdot (1 - a_1 - a_2) W_0}. \end{aligned} \quad (30)$$

Відповідно

$$\frac{1}{C_{0y}} = \frac{2 \cdot W_0}{Q^2} \left( \frac{a_1 \cdot V_{by}}{V_b} + \frac{a_2 \cdot V_{zy}}{V_3} + \frac{(1 - a_1 - a_2) \cdot V_{cy}}{V_c} \right), \quad (31)$$

де  $C_{0y}$  – еквівалентна ємність куба після ущільнення.

Позначимо  $\overline{\omega}_{by} = \frac{V_{by}}{V}$ ;  $\overline{\omega}_{zy} = \frac{V_{zy}}{V}$ ;  $\overline{\omega}_{cy} = \frac{V_{cy}}{V}$  – відносний вміст кожної складової в об'ємі елементарного куба після ущільнення.

Отже

$$\frac{1}{C_{0y}} = \frac{1}{C_0} \left( \frac{\overline{\omega}_{by}}{\overline{\omega}_b} a_1 + \frac{\overline{\omega}_{zy}}{\overline{\omega}_3} a_2 + (1 - a_1 - a_2) \frac{\overline{\omega}_{cy}}{\overline{\omega}_c} \right) = \frac{K_z}{C_0}, \quad (32)$$

де  $C_0$  – еквівалентна ємність куба до ущільнення, а

$$K_z = \frac{\overline{\omega}_{by}}{\overline{\omega}_b} a_1 + \frac{\overline{\omega}_{zy}}{\overline{\omega}_3} a_2 + (1 - a_1 - a_2) \frac{\overline{\omega}_{cy}}{\overline{\omega}_c}. \quad (33)$$

Якщо ж зовнішня оболонка відсутня, то

$$K_z = \frac{\overline{\omega}_{by}}{\overline{\omega}_b} a_1 + (1 - a_1) \frac{\overline{\omega}_{cy}}{\overline{\omega}_c}. \quad (34)$$

Тоді

$$C_{0y} = \frac{C_0}{K_z}. \quad (35)$$

Звідси

$$\varepsilon'_{екв} = \frac{\varepsilon_{екв}}{K_z}. \quad (36)$$

На практиці доволі часто використовується обернена задача: за відомою (вимірною) еквівалентною діелектричною проникністю досліджуваного сипкого середовища та відомою діелектричною проникністю однієї із складових, наприклад повітря, необхідно знайти діелектричну проникність досліджуваного матеріалу. Для цього треба скористатися залежностями (20) та (21) з урахуванням коефіцієнта ущільнення.

**Висновки.** Створено математичну модель еквівалентної діелектричної проникності неупорядкованого неоднорідного сипкого середовища з урахуванням зовнішньої оболонки та внутрішнього ядра зернини за допомогою методу еквівалентних ємностей, що дає змогу розрахувати діелектричну проникність суміші за відомих (вимірних) діелектричних складових досліджуваного середовища і розв'язати зворотну задачу, тобто знаходити діелектричну проникність досліджуваного матеріалу за відомими (вимірними) значеннями еквівалентної діелектричної проникності та діелектричною проникністю однієї із складових суміші (повітря).

1. Івах Р. М., Совин Я. Р. Математична модель еквівалентної діелектричної проникності неоднорідного середовища з регулярними кульовими діелектричними включеннями // Автоматика, вимірювання та керування. — 2009. — № 639. — С. 44—51. 2. Берлинер М. А. Измерения влажности. — М.: Энергия, 1973. — 400 с. 3. Атабеков Г. И., Купалян С. Д., Тимофеев А. Б., Хухриков С. С. Теоретические основы электротехники / Под ред Г. И. Атабекова. Ч. 2 и 3. Нелинейные цепи. Электромагнитное поле. — М.—Л.: Энергия, 1966. — 280 с. 4. Нейман Л. Р., Димерчан К. С. Теоретические основы электротехники. — М.: Энергоиздат, 2003. 5. Теоретические основы электротехники. Том II. Нелинейные цепи и основы теории электромагнитного поля: Учебник для электротех. вузов. / Под ред. П.А. Ионкина. — Изд. 2-е, перераб и доп. — М.: Высшая школа, 1972. 6. Клауснатцер Г. Введение в электротехнику. — М., 1985. — 480 с. 7. Малинівський С. М. Загальна электротехніка. — Львів: Бескид-Біт, 2003. — 500 с.